

## Investigating the Anticancer Properties of Zinc Oxide Nanoparticles Conjugated with Thiosemicarbazide on Gastric Cancer Cells and Evaluation the Expression Level of *CASP8* and *HULC* Genes

Sadaf Beigi <sup>1</sup> , Ali Salehzadeh <sup>1\*</sup> , Hadi Habibollahi <sup>1</sup> , Seyed Ataollah Sadat Shandiz <sup>2</sup> ,  
Fariba Safa <sup>3</sup> 

<sup>1</sup> Dept of Biology, Rasht Branch, Islamic Azad University, Rasht, Iran

<sup>2</sup> Dept of Biology, Central Tehran Branch, Islamic Azad University, Tehran, Iran

<sup>3</sup> Dept of Chemistry, Rasht Branch, Islamic Azad University, Rasht, Iran

### Article Info

**Article type:**  
Research article

**Article History:**

Received: May. 12, 2024

Received in revised form:

Jun. 17, 2024

Accepted: Jul. 24, 2024

Published Online: Feb. 03, 2025

**\* Correspondence to:**

Ali Salehzadeh

Dept of Biology, Rasht Branch,  
Islamic Azad University, Rasht,  
Iran

Email:

a.salehzadeh@iau.ac.ir

### ABSTRACT

**Introduction:** Nanotechnology has significantly enhanced the treatment of stomach cancer. Thiosemicarbazones, a novel class of medicines that can be complexed with nanoparticles. Thus, the aim of this study was to synthesize zinc oxide nanoparticles functionalized with glutamine and conjugated with thiosmecarbazone and their cytotoxicity and their effect on the expression of *CASP8* and *HULC* Lnc-RNA genes.

**Materials & Methods:** In this experimental study, zinc oxide ( $ZnO$ ) nanoparticles were first synthesized and functionalized with glutamine ( $ZnO@Gln$ ) and conjugated with thiosmecarbazone ( $ZnO@Gln-TSC$ ). FTIR, XRD, DLS, SEM, TEM analyses were performed to investigate the synthesis of nanoparticles. The cytotoxicity of nanoparticles on AGS cells was investigated by MTT test under different concentrations. The expression level of *CASP8* and *HULC* genes under the influence of IC50 concentration of nanoparticles were investigated by the real-time PCR method. Data analysis was conducted using SPSS Version 16, using ANOVA and T-tests, with a P-value threshold of less than 0.05 deemed significant.

**Results:** FT-IR and XRD tests confirmed what the particles were made of, and the nanoparticles were found to be between 30 and 70 nm in size. DLS showed the size of nanoparticles to be 296 nm. The MTT test showed that the IC50 value of nanoparticles was 10  $\mu$ g/mL. Nanoparticles turned AGS cells into a test group where the *CASP8* gene went up by 6.79 and the *HULC* gene went down by 0.65 compared to the control group ( $P < 0.05$ ).

**Conclusion:** Nanoparticles of  $ZnO@Gln-TSC$  had an effect on AGS cancer cells by increasing the amount of *CASP8* and decreasing the expression of the *HULC* gene. This stopped cell growth and caused apoptosis, which could be further studied as a drug for treating cancer.

**Keywords:** Thiosemicarbazide, Gastric Cancer, Nanoparticles zinc oxide, *CASP3*, *HULC*

**How to cite this paper:** Beigi S, Salehzadeh A, Habibollahi H, Sadat Shandiz SA, Safa F. Investigating the anticancer properties of zinc oxide nanoparticles conjugated with Thiosemicarbazide on gastric cancer cells and evaluation the expression level of *CASP8* and *HULC* genes. *Journal of Ilam University of Medical Sciences*. 2025;32(6):109-127.

### Introduction

Gastric cancer is the fourth most common cancer in the world. Its development is affected by many things, such as an infection with *Helicobacter pylori*, a person's family history, genes, and mutations and polymorphisms that cause changes in gene expression or protein function that lead to the development of gastric cancer (1). In Iran, 50% of the country's common cancers are related to the digestive system, among which gastric cancer is the most

common (2). Following the emergence of nanotechnology, a wide range of nanoparticles, especially metal nanoparticles, have been studied in the field of cancer detection and treatment (4). Due to their small size, these substances can easily penetrate the body's tissues and effectively influence cells through their large surface area (4). Thiosemicarbazone is a significant organic compound that can fight bacteria, viruses, and tumors (4). It can also accept a lot of different metal ion compounds as main and substituent groups. Studies have



shown that when thiosmecarbazone combines with metal particles, it works better, including stopping cancer cells from growing (4). Its pharmacological effect is also improved with metal ions (10). This is because genes are involved in apoptosis. Any changes in how these genes are expressed, like those in *CASP8* and *HULC* Lnc-RNA, can stop the growth of cancer cells. (16). Previous studies have clearly demonstrated the role of thiosmecarbazone complexes and metal nanoparticles in altering the expression of these genes (10,16). Accordingly, the aim of this study is to synthesize zinc oxide nanoparticles. The nanoparticles will be functionalized with glutamine and conjugated with thiosmecarbazone, assessing their cytotoxicity and their impact on the expression of *CASP8* and *HULC LncRNA* genes.

## Methods

All materials and solutions used in this research were of laboratory-grade purity. The gastric cancer cell line (AGS) was obtained from the cell bank of the Pasteur Institute of Iran. In order to evaluate the physical and chemical properties of ZnO@Gln-TSC nanoparticles, physicochemical tests, including FT-IR (Fourier Transform Infrared), XRD (X-ray Diffraction), transmission electron microscopes (TEM), scanning electron microscopy (SEM), and X-ray diffraction spectroscopy (EDS) tests, were done. AGS cells were treated with different concentrations of ZnO@Gln-TSC NPs, and the effect of ZnO@Gln-TSC NPs on cell viability was determined using the MTT assay. After determining the inhibitory percentage of different concentrations of nanoparticles, the cells were treated with 50% inhibitory concentration of the ZnO@Gln-TSC NPs, their total RNA was extracted, cDNA was synthesized, and gene expression level was assessed by real-time PCR. Statistical analysis was done using SPSS V.16, and the statistical difference in MTT assay was analyzed by one-way analysis of variance (ANOVA), and gene expression changes were analyzed by t-test. A p-value of less than 0.05 was also considered a significant level.

## Results

The FTIR spectrum shows that the peaks for ZnO and TSC are correct, which means that the ZnO@Gln-TSC NP was made correctly.

Through an electron microscope, it was seen that ZnO@Gln-TSC NPs are almost spherical and are about 30–70 nm in size. The results of the MTT assay showed that ZnO@Gln-TSC NP at concentrations higher than 3.90 µg/ml causes a significant decrease in the survival rate of cancer cells. Also, the 50% inhibitory concentration of ZnO@Gln-TSC NP was 10 µg/ml. Also, it was observed that treatment of a gastric cancer line with ZnO@Gln-TSC NP caused a significant increase in the expression of *CASP8* and *HULC* genes by 6.79 and 0.65 folds, respectively.

## Conclusion

The synthesized nanoparticle significantly reduced the survival of cancer cells and led to a significant increase in the expression of *CASP8* and a significant decrease in *HULC* gene expression. It can be concluded that the activation of apoptosis is the most likely mechanism of the anticancer effect of ZnO@Gln-TSC nanoparticles.

## Authors' Contribution

Conceptualization: AS, FS, Methodology, Visualization: AS, SS, Validation: AS, SB, Formal Analysis: AS, HH, Investigation, Resources: SB, Data Curation: AS, SB, Writing—Original Draft Preparation: AS, HH, Writing—Review & Editing: AS, Supervision, Project Administration: AS, SS, HH, FS.

## Ethical Statement

The ethical concerns were adhering to the Declaration of Helsinki's guidelines, which are designed to ensure honesty in library collection and data reporting, and following principles for conducting interventions on human subjects. The authors adhered to ethical standards by avoiding data fabrication, falsification, plagiarism, and misconduct.

## Conflicts of Interest

The authors declare no conflict of interest.

## Funding

This study did not receive any financial support.

## Acknowledgment

The authors would like to thank the staff of the Biology Laboratory of Islamic Azad University, Rasht Branch (Guilan, Iran).

## بررسی خاصیت ضدسرطانی نانوذرات اکسید روی کنزوگه با تیوسومی کاربازید بر سلول‌های سرطانی معده و ارزیابی میزان بیان ژن‌های *CASP8* و *HULC*

صفد بیگی<sup>۱</sup>, علی صالح زاده<sup>\*</sup>, هادی حبیب اللهی<sup>۱</sup>, سید عطاءالله سادات شاندیز<sup>۲</sup>, فربیا صفا<sup>۲</sup>

<sup>۱</sup> گروه زیست شناسی، واحد رشت، دانشگاه آزاد اسلامی، رشت، ایران

<sup>۲</sup> گروه زیست شناسی، واحد تهران مرکزی، دانشگاه آزاد اسلامی، تهران، ایران

<sup>۳</sup> گروه شیمی، واحد رشت، دانشگاه آزاد اسلامی، رشت، ایران

### اطلاعات مقاله

#### چکیده

**مقدمه:** سرطان معده چهارمین بدخیمی شایع و دومین علت مرگ در همه بدخیمی‌های جهان است. نانو تکنولوژی به درمان مؤثر بیشتری در درمان داشته باشند.

**مواد و روش‌ها:** در این مطالعه تجربی، ابتدا نانوذرات اکسید روی (ZnO) سنتر شد و با گلوتامین (ZnO@Gln) عامل دار و با تیوسومی کاربازید کنزوگه گردید (ZnO@Gln-TSC). آنالیزهای FTIR, XRD, DLS, SEM و TEM برای بررسی سنتر نانوذرات انجام شد. بررسی سمیت سلولی نانوذرات بر سلول‌های AGS با تست MTT تحت غلظت‌های مختلف انجام گردید. میزان بیان ژن‌های *HULC* و *CASP8* تحت تأثیر غلظت  $IC_{50}$  نانوذرات با روش Real Time PCR بررسی شد. برای تجزیه و تحلیل داده‌ها از نرم‌افزار SPSS vol.16 و آزمون‌های آنوفوا و تی استفاده گردید و  $P < 0.05$  برای ژن‌ها معنی دار در نظر گرفته شد.

**نویسنده مسئول:**  
علی صالح زاده

تاریخ دریافت: ۱۴۰۳/۰۲/۲۳

تاریخ ویرایش: ۱۴۰۳/۰۲/۲۸

تاریخ پذیرش: ۱۴۰۳/۰۵/۰۳

تاریخ انتشار: ۱۴۰۳/۱۱/۱۵

**یافته‌های پژوهش:** ماهیت ذرات توسط FT-IR و XRD تأیید و اندازه نانوذرات در محدوده ۳۰ تا ۷۰ نانومتر گزارش گردید. آنالیز DLS اندازه نانوذرات را ۲۹۶ نانومتر نشان داد. تست MTT نشان داد که مقدار  $IC_{50}$  نانوذرات ۱۰  $\mu\text{g}/\text{mL}$  بود. تأثیر نانوذرات بر سلول‌های AGS باعث افزایش معنی دار ژن *CASP8* (۶/۷۹) و کاهش معنی دار ژن *HULC* (۰/۶۵) نسبت به گروه کنترل شد. ( $P < 0.05$ ).

**Email:**  
a.salehzadeh@iau.ac.ir

**بحث و نتیجه گیری:** تأثیر نانوذرات ZnO@Gln-TSC بر سلول‌های سرطانی AGS با افزایش بیان ژن *CASP8* و کاهش بیان ژن *HULC*. تکنیک اپوتوز گردید که می‌تواند به عنوان دارو برای درمان بیماران سرطانی بیشتر بررسی شود.

**واژه‌های کلیدی:** تیوسومی کاربازید، سرطان معده، نانوذرات اکسید روی، *CASP8*, *HULC*

**استناد:** بیگی صدق، صالح زاده علی، حبیب اللهی هادی، سادات شاندیز سید عطاءالله، صفا فربیا. بررسی خاصیت ضدسرطانی نانوذرات اکسید روی کنزوگه با تیوسومی کاربازید بر سلول‌های سرطانی معده و ارزیابی میزان بیان ژن‌های *CASP8* و *HULC*. مجله دانشگاه علوم پزشکی ایلام، بهمن ۱۴۰۳؛ ۳۲(۶): ۱۲۷-۱۰۹.



## مقدمه

ذرات فلزی به بهبود کارایی آنها از جمله مهار سلول‌های سرطانی منجر می‌شود و اثر دارویی آن به همراه یون‌های فلزی افزایش می‌یابد (۱۰، ۱۱). کاسپازها پروتئازهای اختصاصی هستند و سویسترای خود را از محل آسپارتات خاصی تجزیه می‌کنند و باعث تخریب پروتئین‌ها یا فعال‌سازی کاسپازهای دیگر می‌گردند (۱۲). کاسپازهای آغازگر شامل ۲، ۹، ۸ و ۱۰ در ابتدای فرایند فعال می‌شوند و کاسپازهای اجرایی شامل ۳، ۶ و ۷ را فعال می‌کنند که آن‌ها هم آبشار کاسپازی را به راه می‌اندازند و موجب شکست پروتولیتیک پروتئین‌های خاصی در سلول می‌گردند. ژن CASP8 در جایگاه q33.12 قرار دارد. این ژن در مرگ برنامه‌ریزی شده نقش دارد. مسیر خارجی با اتصال لیگاند مرگ فعال می‌شود و موجب فعال شدن CASP8 و به دنبال آن CASP3 می‌گردد. مسیر ذاتی با آزادسازی سیتوکروم C از میتوکندری تحریک می‌شود که به تشکیل مجموعه-1 Apaf9 و متعاقباً CASP9 و به دنبال آن، تشکیل Lnc-RNA فعال منجر خواهد شد (۱۳). Lnc-RNA ها عمدتاً به عنوان رونوشت‌هایی با طول بیش از 200 nt دسته‌بندی می‌گردند که مانند رونوشت‌های mRNA بدون ظرفیت کدگذاری پروتئین، پلی‌آدنیله می‌شوند و بهم متصل می‌گردند. انواع Lnc-RNA ها بیان خاصی از نوع سلول و مرحله رشد را نشان می‌دهند که نشان‌دهنده نقشهای اساسی در هویت سلولی و سازماندهی بافت است. اختلال عملکرد Lnc-RNA ارتباط نزدیکی با انواع مختلف تومور دارد که نشان‌دهنده پتانسیل آن‌ها در تومورزایی و اهمیت توسعه راهبردهای درمانی در آینده است. Lnc-RNA ها تعداد بسیاری از فرایندهای سلولی را تعديل می‌کنند؛ از جمله تمایز سلولی، توقف چرخه سلولی، آپوپتوز و اتوفازی (۱۴، ۱۵). ژن HULC که در ابتدا به عنوان RNA طولانی غیرکدکننده بیش از حد بیان شده در سلول‌های کبدی شناسایی شد، در جایگاه p24.36 با طول 1638 pb قرار دارد و شامل دو اگزون و یک ایترنون است. این RNA انکوژن با تنظیم چندگانه، تومورزایی را ترویج می‌دهد و در سلول‌های سرطانی کبد استوار کوما، معده، پستان، کولورکتال، اپیتلیال تخدمان، مثانه، گلیوما، پانکراس و مری مشاهده شده است (۱۶).

سرطان معده چهارمین سرطان شایع در جهان است و توسعه آن روند چندعاملی دارد که میتوان به نقش عفونت هلیکوباتر پیلوی، سابقه فامیلی، زمینه ژنتیکی، جهشها و پلی‌مورفیسم‌ها اشاره کرد که با تغییر میزان بیان ژن و یا تغییر عملکرد پروتئین همراه هستند و در ایجاد سرطان معده دخیل‌اند (۱). در ایران، ۵۰ درصد سرطان‌های شایع کشور مربوط به دستگاه گوارش است که در میان آن‌ها، سرطان معده از همه شایع‌تر است. حدود ۱۰ درصد از سرطان‌های معده با منشأ ارضی بروز می‌کند؛ اما از این میان، تنها ۱ تا ۳ درصد کارسینوماهای معده بر اثر سندروم‌های شناخته‌شده ایجاد می‌شود (۲). در سال‌های اخیر، توجه فراوانی به نانوذرات مهندسی شده در زمینه پزشکی شده است. مطالعاتی در ارتباط با شناخت خصوصیات نانوذرات طلا، نقره، پلاتین، کیالت، نیکل، آهن و ترکیبات آن‌ها به عنوان دارو و برای درمان سلول‌های بدخیم سرطانی صورت گرفته است که نشان می‌دهد، این نانوذرات تأثیر سوئی بر سلول‌های سالم ندارند. یکی از امیدبخش‌ترین کاربردهای نانوذرات می‌تواند به کارگیری آن‌ها به منظور انجام همزمان دو عمل تشخیص تومور و رساندن دارو به تومور باشد (۴، ۵). روی یک عنصر کمیاب ضروری است که بدون آن، بسیاری از آنزیم‌ها مانند کربنیک ایندراز، کربوکسی پیتیاز و الکل دهیدروژناز غیرفعال می‌شوند. اکسید روی خواص دوگانه نیمه‌هادی و پیزوالتکتریک دارد. از نانوذرات اکسید فلزی برای افزایش حلایلت داروهای افزایش دارورسانی و افزایش مقاومت داروهای استفاده می‌شود (۶، ۷). گلوتامین برای تولید انرژی و به عنوان پیش‌ماده برای تکثیر سریع سلول‌های سرطانی و تأمین کننده منبع کربن و نیتروژن برای سنتز اسیدهای نوکلیشک و اسیدهای آمینه استفاده می‌گردد (۸).

تیوسیمی کاربازون یکی از ترکیبات مهم آلی است که خواص ضدبacterیایی، ضدویروسی و ضدتوموری دارد و می‌تواند طیف وسیعی از ترکیبات یون‌های فلزی را به عنوان گروه اصلی و گروه جایگزینی در خود جای دهد (۹). نتایج مطالعات نشان می‌دهد که کمپلکس تیوسیمی کاربازون با

سترنشده: در این آزمایش، از FTIR برای شناسایی ماهیت شیمیایی پیوندها و تجزیه و تحلیل حضور گروههای عاملی مختلف در نانوذرات ZnO@Gln-TSC و ZnO@Gln از شرکت Perkin Elmer توسط دستگاه اسپکترومتر اسپکترومتر (Spectrum 100) استفاده گردید.

برای بررسی و تشخیص ساختار کریستالی و فازهای موجود ثابت نمونهٔ سترنشده ZnO@Gln-TSC از دستگاه پراش اشعه ایکس (PW1730، فیلیپس هلند) با طول موج  $\lambda=1.54056\text{ \AA}$  آنگستروم (Cu-K $\alpha$  X-ray tube) استفاده شد. نمونهٔ سترنشده پودری روی مرکز پراش سنج چرخان در دستگاه قرار گرفت و اشعه ایکس با زاویهٔ  $10^\circ$  تا  $80^\circ$  درجه روی نمونهٔ تابانده و زاویهٔ  $0^\circ$  اندازه گیری شد.

آنالیز پراکندهٔ نور دینامیکی (DLS) روشی فیزیکی برای تعیین توزیع ابعاد ذرات موجود در محلول‌ها و سوسپانسیون‌ها است. برای تعیین اندازهٔ نانوذرات ZnO@Gln-TSC پوشیده شده با آب از دستگاه اندازه گیری DLS مدل SZ-100 شرکت HORIBA Scientific (ژاپن) استفاده گردید. در این روش، پرتو لیزر با زاویهٔ ثابت  $90^\circ$  درجه و شدت عبور  $26300$  به سوسپانسیون تابانده و پراکندهٔ نور لیزر توسط آشکارساز نوری ثبت شد. برای تحلیل صحیح نرم‌افزار دستگاه DLS، ضریب شکست و ویسکوزیتّهٔ فاز مایع مشخص گردید و به نرم‌افزار داده شد.

برای بررسی سطح نانوذرات ZnO@Gln-TSC از میکروسکوپ الکترونی نگاره (SEM) شرکت TESCAN مدل MIRA3 و برای بررسی اندازهٔ نانوذرات از میکروسکوپ الکترونی گذاره (TEM) شرکت Zeiss آلمان مدل Zeiss-EM900 استفاده گردید.

کشت و شمارش ردهٔ سلول سرطانی معده (AGS): در این مطالعه، ردهٔ سلول سرطانی معده (AGS) از بانک سلولی انتستیتو پاستور ایران خریداری شد. سلول‌های AGS در محیط DMEM کشت گردیدند که با  $10\text{ ml FBS}$  درصد و  $1\text{ ml}\text{ pen-strep}$  درصد استرپتومایسین و پنی‌سیلین (هر کدام  $10000\text{ U/ml}$ ) مکروگرم بر میلی‌لیتر) ترکیب شده بود. برای شمارش سلولی پس از ترپسینه، جداسازی و اضافه کردن  $4\text{ ml}\text{ PBS}$  محیط کشت،

با توجه به نقش ژن‌های دخیل در فرایند آپوپتوز، بروز هرگونه تغییرات در بیان این ژن‌ها می‌تواند به اختلال در فرایند چرخهٔ سلول سرطانی منجر شود. مطالعات پیشنهادی نشان داده‌اند. بر اساس این، هدف از این پژوهش سترن نانوذرات اکسید روی عامل‌دارشده با گلوتامین و کثروگه با تیوسیمی کاربازید است که آن را بر سلول‌های سرطانی معده تأثیر می‌دهد تا قابلیت سمیت سلولی HULC و CASP8 و آن بر بیان ژن‌های Lnc-RNA مشخص گردد.

## مواد و روش‌ها

سترن نانوذرات اکسید روی عامل‌دارشده با گلوتامین و کثروگه با تیوسیمی کاربازید: محلول آمونیاک  $0.1\text{ Molar}$  به آرامی به  $100\text{ ml}\text{ PBS}$  اضافه شد  $\text{ZnCl}_2$   $0.5\text{ Molar}$  pH آن به عدد  $11$  بر سر. با مشاهدهٔ تغییر رنگ pH و تشکیل رسوب سفیدرنگ،  $1$  ساعت در دمای  $100^\circ\text{C}$  درجه هم زده شد. محلول به دست آمده با دور  $6000$  به مدت  $7$  دقیقه سانتریفیوژ گردید و رسوب حاصل جدا،  $3$  بار با آب مقطر و  $1$  بار با اتانول  $96\%$  درصد شستشو داده و دوباره سانتریفیوژ شد. درنهایت، رسوب در پلیت شیشه‌ای ریخته و داخل آون به مدت  $8$  ساعت در دمای  $80^\circ\text{C}$  درجه قرار داده شد تا کاملاً خشک گردد. سترن نانوذرة اکسید روی عامل‌دارشده با گلوتامین با نسبت مولی  $2:1$  به طی مراحل پیشین صورت گرفت. برای تهیه نانوذرات اکسید روی عامل‌دارشده با گلوتامین و کثروگه با تیوسیمی کاربازید، ابتدا  $500\text{ ml}\text{ PBS}$  نانوذرة ZnO-Gln و  $200\text{ ml}\text{ PBS}$  تیوسیمی کاربازید در  $200\text{ ml}\text{ PBS}$  درجه  $40^\circ\text{C}$  درصد به صورت محلول درآورده شد و  $30$  دقیقه در حمام اولتراسونیک و سپس به مدت  $24$  ساعت، در دمای  $40^\circ\text{C}$  درجه در شیکر انکوباتور قرار گرفت. رسوب حاصل توسط سانتریفیوژ با دور  $4000$  به مدت  $15$  دقیقه جدا گردید و  $3$  بار با آب مقطر و  $1$  بار با اتانول  $96\%$  درصد شستشو داده شد. درنهایت، رسوب به دست آمده به مدت  $6$  ساعت در دمای  $80^\circ\text{C}$  درجه در آون خشک گردید (۱۷).

بررسی خصوصیات فیزیکی و شیمیایی نانوذرات

بود. چاهک‌های بدون نانوذرات به عنوان گروه کنترل در نظر گرفته شدند. غلظت‌ها برای نانوذرات ZnO@Gln-TSC در رده AGS به ترتیب گروه کنترل، ۱/۹۵۳۱۲۵، ۳/۹۰۶۲۵، ۵۰۰، ۷/۸۱۲۵، ۱۵/۶۲۵، ۳۱/۲۵، ۶۲/۵، ۱۲۵، ۲۵۰، ۵۰۰ میکروگرم/میلی‌لیتر است.

سلول‌ها طی ۲۴ ساعت و در ۳۷ درجه سانتی‌گراد انکوبه شدند؛ سپس ۱۰۰ ماکرولیتر از محلول ۰/۵ میلی‌گرم/میلی‌لیتر MTT به هر چاهک افزوده گردید و پلیت‌ها مجدداً به مدت ۴ ساعت در ۳۷ درجه سانتی‌گراد انکوبه شدند؛ سپس محیط کشت خارج گردید و به هر چاهک ۲۰۰ ماکرولیتر دی‌متیل سولفوکسید (DMSO) اضافه شد. در انتهای جذب نوری هر یک از چاهک‌ها در طول موج ۵۹۰ نانومتر با استفاده از دستگاه خوانشگر الایزا (USA, USA, ELX800) سنجیده گردید. دوز بازدارنده میانی (۵۰٪ Inhibitory concentration) با استفاده از رابطه زیر محاسبه شد:

سانتریفیوژ با دور RPM1000 و ۵ دقیقه انجام شد. برای به دست آوردن حجم ۵۰۰ ماکرولیتر محلول سلول‌رنگ، ۴۰۰ ماکرولیتر از محلول رنگ تریپان بلو به ۱۰۰ ماکرولیتر از محلول سلولی اضافه و Mix گردید و ۱۰۰ ماکرولیتر از آن در لام هموسایتمتر ریخته شد. تعداد سلول‌های موجود در هر مربع توسط میکروسکوپ Abjective با بزرگنمایی X100 شمارش گردید و میانگین سلول‌های ۴ جایگاه محاسبه شد. به علت ۵ برابر رقیق‌سازی محلول سلولی با رنگ تریپان بلو، عدد محاسبه شده در ۵ ضرب گردید تا تعداد سلول‌ها در مقیاس ۱ میلی‌لیتر به دست آید.

تعیین سمیت سلولی نانوذرات: به منظور تعیین سمیت سلولی نانوذرات ZnO@Gln-TSC بر سلول‌های AGS از آزمایش MTT استفاده شد. سلول‌های AGS در پلیت ۹۶ خانه و با تراکم  $10^4 \times 10^4$  سلول/چاهک کشت گردیدند و در ZnO@Gln-TSC مواجهه با غلظت‌های مختلف نانوذرات قرار گرفتند. تکرارها در تست MTT برای هر غلظت ۶ بار

$$\text{سمیت} = \frac{\text{جذب نوری تیمار} - \text{جذب نوری شاهد}}{\text{درصد میزان مهار}} \times 100$$

استخراج شده از دستگاه نانوردراپ استفاده شد. سنتر DNA مکمل با استفاده از کیت تجاری first strand cDNA Synthesis Kit (Takara, Tokyo, Japan) انجام گردید.

طراحی پرایمر: در این پژوهش، از توالی‌های پرایمر استفاده شده در سایر مقالات بهره گرفته شد. با انجام از تشکیل نشدن محصولات غیراختصاصی اطمینان حاصل گردید. توالی پرایمرهای استفاده شده در مطالعه در جدول شماره ۱ آورده شده است (۱۸).

استخراج RNA کل و سنتر cDNA: در ابتدا سلول‌های AGS در پلیت‌های ۶ خانه و با تراکم  $5 \times 10^5$  سلول/چاهک کشت گردیدند. بر اساس نتایج آزمایش MTT، سلول‌ها در مواجهه با نانوذرات ZnO@Gln-TSC با غلظت نهایی ۱۰ میکروگرم/میلی‌لیتر قرار گرفتند و به مدت ۲۴ ساعت در دمای ۳۷ درجه سانتی‌گراد انکوبه شدند. فرایند استخراج RNA کل با استفاده از کیت استخراج RNA از کشت سلول ۲۰ Cat.NO: PR891620 از شرکت سیناکلون انجام گردید. برای بررسی غلظت و خلوص RNA

جدول شماره ۱. توالی پرایمر ژن‌های HULC, CASP8, GAPDH و

Gene	Forward primer (5'-3')	Reverse primer (5'-3')	Reference
GAPDH	CCCACTCCTCACCTTGAC	CATACCAGGAAATGAGCTTGACAA	(۱۸)
CASP8	GACTGGATTGCTGATTACCTACCTAA	CCTCAATTCTGATCTGCTCACTTCT	(۱۸)
HULC	ACAGACCAAAGCATCAAGCA	TTGCCACAGGTTAACACTT	(۱۸)

مدت ۴۵ ثانیه پایان یافت. در پایان، میانگین چرخه‌های آستانه (CT) برای هر ژن محاسبه شد. در این مطالعه از روش مقایسه‌ای  $\Delta\Delta Ct$  و فرمول  $\Delta Ct - 2^{\Delta\Delta Ct}$  استفاده گردید و روند کاهش یا افزایش ژن بررسی شد. عدد ۲ در این فرمول پایه لگاریتمی دارد.

- $\Delta Ct(\text{Control}) = Ct(\text{Target gene}) - Ct(\text{Reference gene})$
- $\Delta Ct(\text{Treatment}) = Ct(\text{Target gene}) - Ct(\text{Reference gene})$
- $\Delta\Delta Ct = \Delta Ct(\text{Treatment}) - \Delta Ct(\text{Control})$
- Relative fold change =  $2^{-\Delta\Delta Ct}$

داده‌های بدست آمده در این تحقیق بر اساس دو تکرار استوار بود که با گرفتن میانگین  $Ct$ ‌ها و محاسبه انحراف معیار میزان تغییرات محاسبه گردید. به منظور تجزیه و تحلیل داده‌ها از نرم‌افزار SPSS vol.16 و آزمون‌های آنova و تب استفاده شد.  $P < 0.05$  برای ژن‌ها در هر آزمایش معنی‌دار در نظر گرفته شد.

### یافته‌های پژوهش

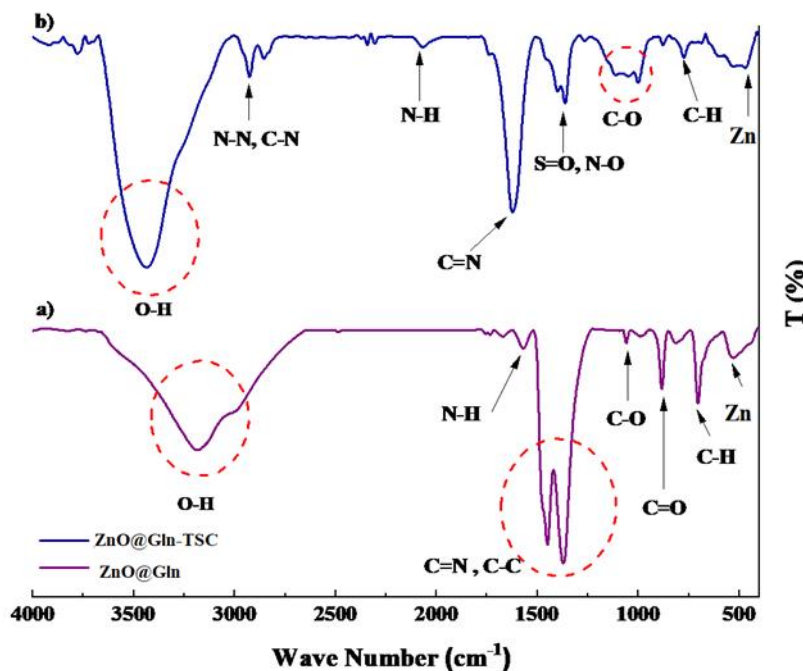
نتایج آزمایش FTIR: به منظور بررسی گروه‌های عاملی نانوذرات سترشده از آزمایش FT-IR استفاده گردید. طیف‌های FT-IR نانوذرات ZnO@Gln و ZnO@Gln-  
TSC در شکل شماره ۱ نمایش داده شده‌اند. پیک‌های جذبی COO - C-N - C-O - و حضور گروه‌های C-S و NH<sub>2</sub> است.

بررسی میزان بیان ژن‌های *CASP8*, *GAPDH* و *HULC* با استفاده از آزمایش Real-time PCR: میزان بیان ژن‌های مطالعه‌شده در مقایسه با ژن *GAPDH*, به عنوان ژن کنترل داخلی بهطور جداگانه برای هر ژن بررسی شد. آزمایش با استفاده از پرایمرهای اختصاصی هر ژن و کیت SYBR Green® Premix Ex TaqTM (TaKaRa, Japan) و با استفاده از دستگاه ترموسایکلر time PCR system (Applied Biosystems, Foster City, CA) انجام گردید. حجم نهایی مخلوط واکنش ۲۰ ماکرولیتر و حاوی ۱۰ ماکرولیتر مستر میکس ۱ cDNA ماکرولیتر از هر پرایمر (۲ میکرومول)، ۲ ماکرولیتر الگو و ۶ ماکرولیتر آب مقطر بود.

برنامه زمان‌بندی دمایی واکنش Real-Time PCR

در دستگاه ترموسایکلر به صورت زیر است:

ابتدا در یک چرخه به منظور فعال‌سازی آنزیم Taq پلیمراز و اسرشتی اولیه DNA الگو به مدت ۱۰ دقیقه و دمای ۹۵ درجه سانتی گراد انجام شد. مرحله بعد، به صورت متناوب در ۴۰ چرخه به مدت ۱۵ ثانیه با دمای ۹۵ درجه سانتی گراد به منظور اسرشتی DNA و سپس به مدت ۶۰ ثانیه با دمای ۶۰ درجه سانتی گراد برای مکمل سازی و اتصال پرایمر به توالی الگو و اجرای QPCR و ساطع شدن نور فلورسنت در طول مراحل طویل‌سازی اعمال گردید و با ۷۲ درجه سانتی گراد به

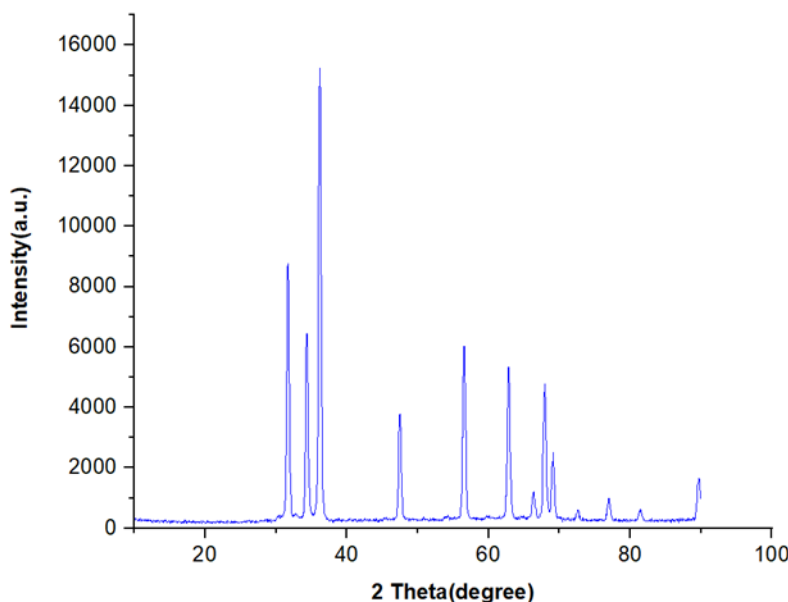


شکل شماره ۱. طیف FT-IR مربوط به نانوذرات ZnO@Gln-TSC و a. ZnO@Gln

(۲۳). در ادامه، قله‌های  $1622/24$  و  $2067/3$  به ترتیب مربوط به پیوند های  $C=N$  و  $N=H$  و قله‌های برابر با  $2855/08$  و  $2629/41$   $\text{cm}^{-1}$  مربوط به باندهای  $C-N$  و  $N-N$  است (۲۵). قله موجود در محدوده بین  $3000\text{--}4000\text{ cm}^{-1}$  مربوط به پیوند  $O-H$  است.

نتایج آزمایش XRD: از طیف سنجی پراش پرتو ایکس (XRD) برای مطالعه ساختار کریستالی نانوذرات ZnO@Gln-TSC استفاده شد. شکل شماره ۲ الگوی پراش اشعه X برای نانوذرات ZnO@Gln-TSC است. پیک‌های پراش مطابق با الگوی انعکاس تأیید کننده سطوح کریستالوگرافیک نانوذرة ZnO@Gln-TSC است.

در طیف مربوط به نانوذرات ZnO@Gln (a) نوار بنفس رنگ)، قله‌های  $535\text{ cm}^{-1}$  مربوط به روی است (۱۹) و همچنین قله  $710\text{ cm}^{-1}$  مربوط به باند  $C-H$  و قله  $883\text{ cm}^{-1}$  مربوط به پیوند  $C=O$  و  $1067\text{ cm}^{-1}$  مربوط به پیوند کششی  $C-O$  و قله‌های برابر با  $1378$ ،  $1453$  و  $1555\text{ cm}^{-1}$  مربوط به باندهای  $C=C$ ،  $C=N$  (۲۰) و  $N-H$  (۲۱) است؛ همچنین قله  $3634\text{ cm}^{-1}$  نیز مربوط به پیوند کششی  $O-H$  موجود در ساختار است (۲۲). در طیف مربوط به نانوذرات ZnO@Gln-TSC (b)، نوار آبی رنگ)، قله  $46928\text{ cm}^{-1}$  مربوط به روی و قله‌های  $9773\text{ cm}^{-1}$  و  $1362\text{ cm}^{-1}$  مربوط به پیوند  $S=O$ ،  $C-O$ ،  $C-H$  و  $N-O$  است (۲۴).



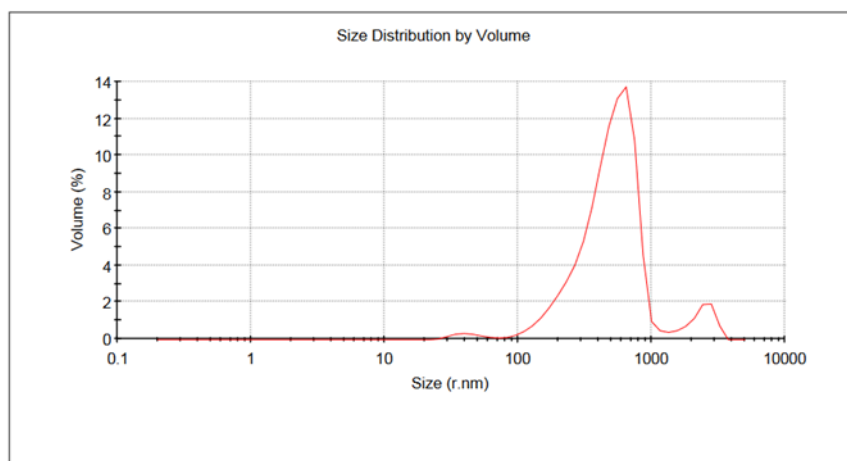
شکل شماره ۲. آنالیز XRD مربوط به نانوذرة ZnO@Gln-TSC

ZnO@Gln-TSC را خالص و بلوری شکل مطرح نماید. نتایج آزمایش DLS: شکل شماره ۳ توزیع فراوانی و اندازه نانوذرات سنتز شده ZnO@Gln-TSC را نشان می دهد. توزیع ذرات به صورت استاندارد، با اندازه های مختلف و پراکنده است. میانگین اندازه ۲۹۶ نانومتر محاسبه شد.

قله های پراش تیز و باریک مطابق با الگوی انعکاس در مقادیر  $\theta$  برابر با  $57/57$ ،  $47/47$ ،  $36/36$ ،  $34/34$ ،  $27/27$ ،  $21/21$  و  $17/17$  درجه که با جهت گیری های کریستالو گرافی  $100$ ،  $100/100$ ،  $102$ ،  $102/102$ ،  $110$ ،  $112$ ،  $200$ ،  $201$ ،  $201/201$  و  $202$  مطابقت می کند، می تواند سطوح کریستالو گرافیک مربوط به نانوذرات

**Z-Average (r.nm): 296**

**Pdl: 0.417**



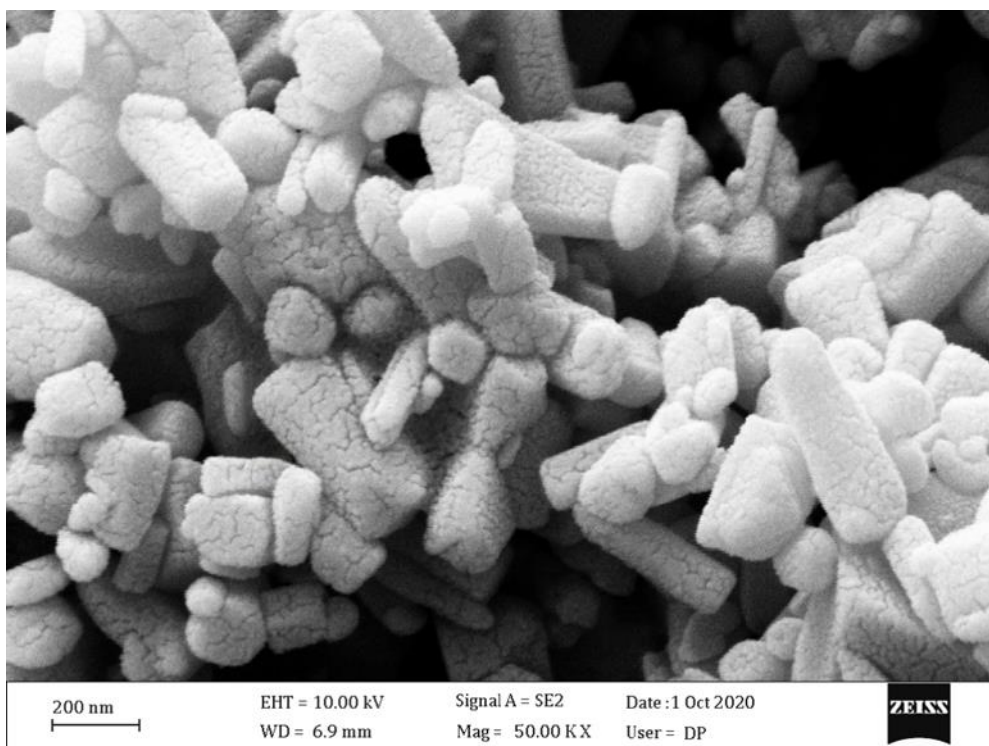
شکل شماره ۳. آنودار توزیع اندازه ذرات ZnO@Gln-TSC حاصل از آزمایش DLS

ZnO@Gln-TSC در محدوده ۳۰ تا ۷۰ نانومتر است. شکل شماره ۵ تصویر میکروسکوپ الکترونی گذاره از نانوذرات

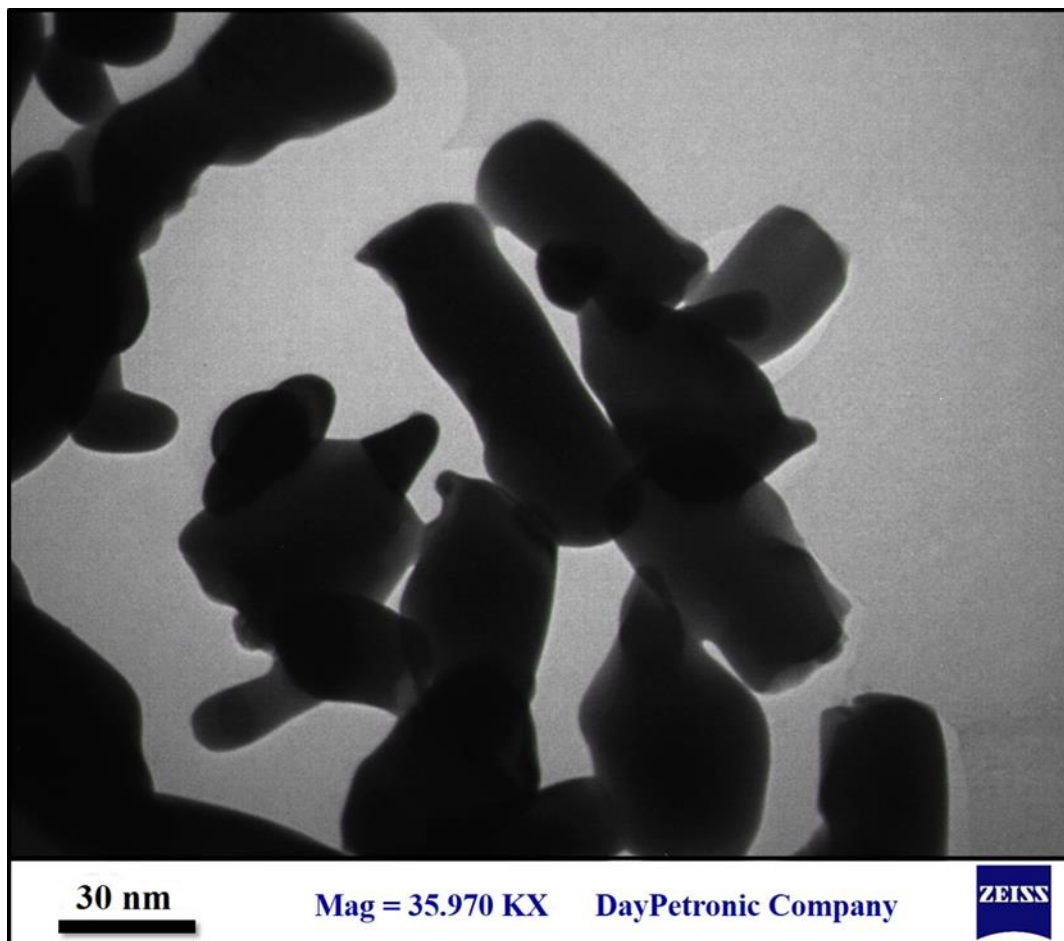
نتایج آزمایش های SEM و TEM: همان طور که در شکل شماره ۴ نشان داده شده است، اندازه نانوذرات

ZnO@Gln-TSC را نشان می‌دهد. ذرات با اندازه تقریبی بین

۳۰ تا ۶۰ نانومتر هستند.



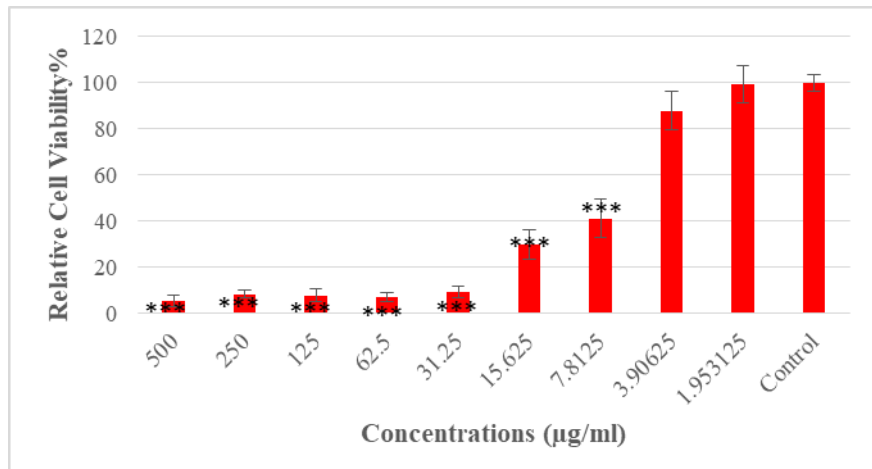
شکل شماره ۴. نتایج آزمایش SEM از نانوذرة ZnO@Gln-TSC



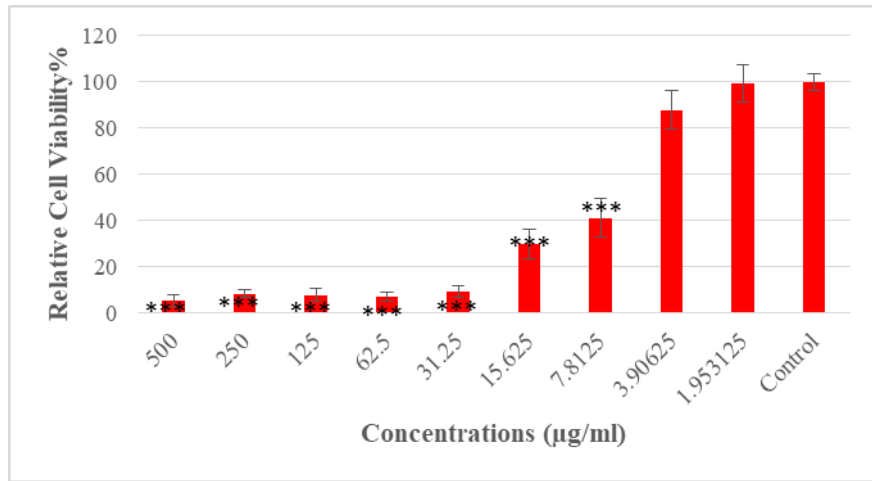
شکل شماره ۵. نتایج آزمایش TEM از نانوذرة ZnO@Gln-TSC

کنترل گزارش شده است. غلظت مهاری IC<sub>50</sub> برای نانوذرات ZnO@Gln-TSC برابر با ۱۰ میکروگرم بر میلی لیتر برای رده سرطانی معده (AGS) در شکل شماره ۶ b آورده شده است.

نتایج آزمایش MTT: نتایج اثر نانوذرات ZnO@Gln-TSC بر سلول‌های سرطانی معده (AGS) در غلظت‌های مختلف و گروه کنترل در شکل شماره ۶ a نشان داده شده است. نتایج به صورت درصد بقا در مقایسه با نمونه



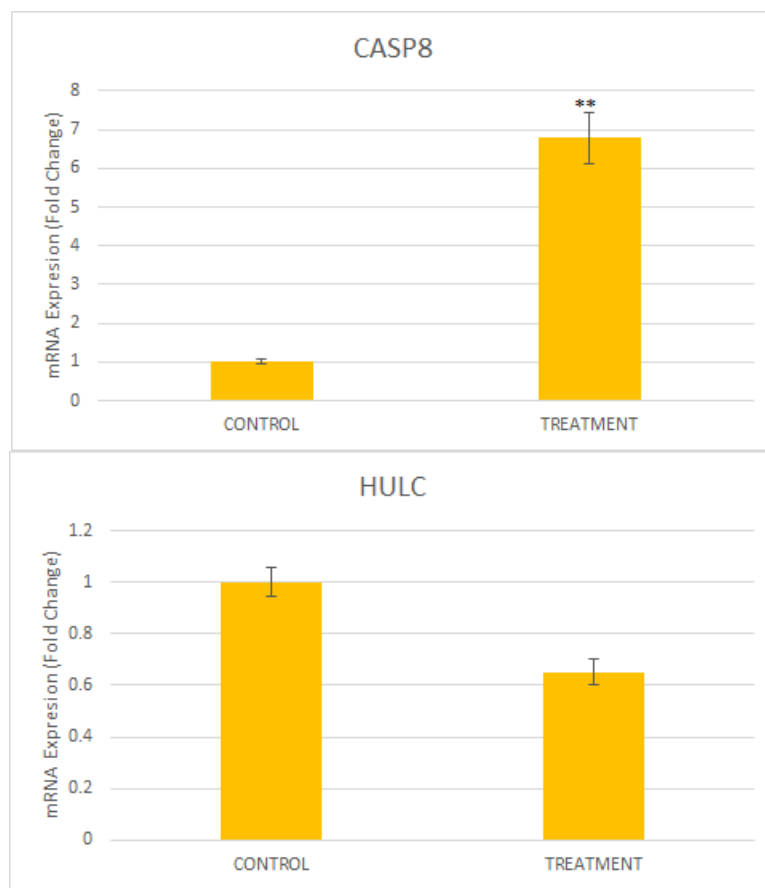
شکل شماره ۶ a. مودار AGS (P<0.001\*\*\* ) نانوذرات ZnO@Gln -TSC در سلول‌های سرطانی



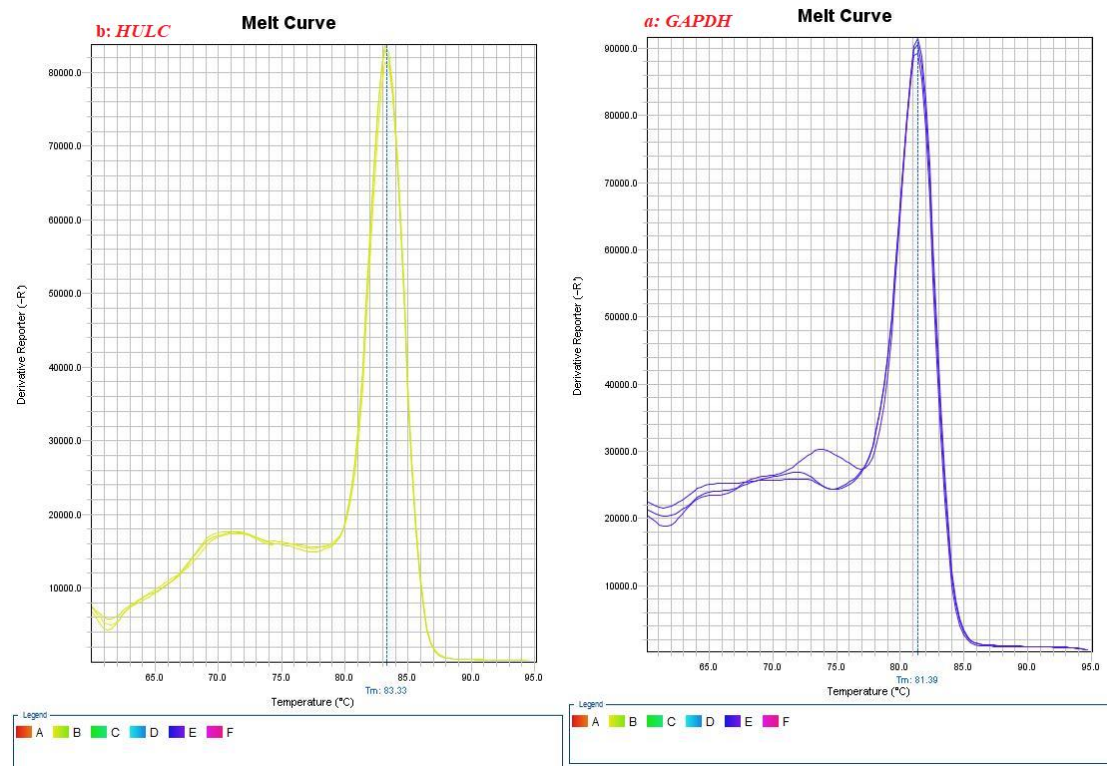
شکل شماره ۶ b. مودار IC50 نانوذرات ZnO@Gln -TSC در سلول‌های سرطانی AGS

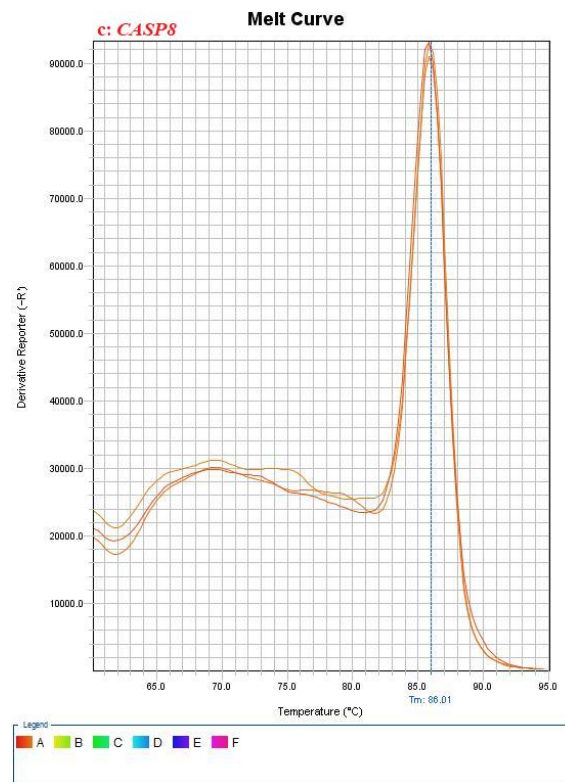
مواجهه یافته به میزان ۰/۶۵ برابر، با کاهش معنی دار در مقایسه با سلول‌های گروه کنترل به دست آمد (P<0.001). نتایج میزان بیان ژن‌های *CASP8* و *HULC* در شکل شماره ۷ a و b نمایش داده شده‌اند. همچنین برای هریک از ژن‌های *CASP8* و *HULC*، *GAPDH* شکل شماره ۸ a، b و c و یک نمونه از منحنی تکثیر در شکل شماره ۹ a، b و c آمده است.

نتایج بررسی میزان بیان ژن‌های *CASP8* و *HULC* میزان بیان ژن‌های *CASP8* و *HULC* پس از مواجهه سلول‌ها با غلظت IC<sub>50</sub> برابر با ۱۰ میکروگرم بر میلی لیتر از نانوذرات ZnO@Gln-TSC بررسی شد. نتایج نشان داد که مواجهه سلول‌های AGS با نانوذرات یادشده به تغییرات بیان ژن *CASP8* به میزان ۶/۷۹ برابر، با افزایش معنی دار در سلول‌های *CASP8* تیمارشده در مقایسه با سلول‌های گروه کنترل منجر گردیده بود (P<0.001). تغییرات بیان ژن *HULC* در سلول‌های

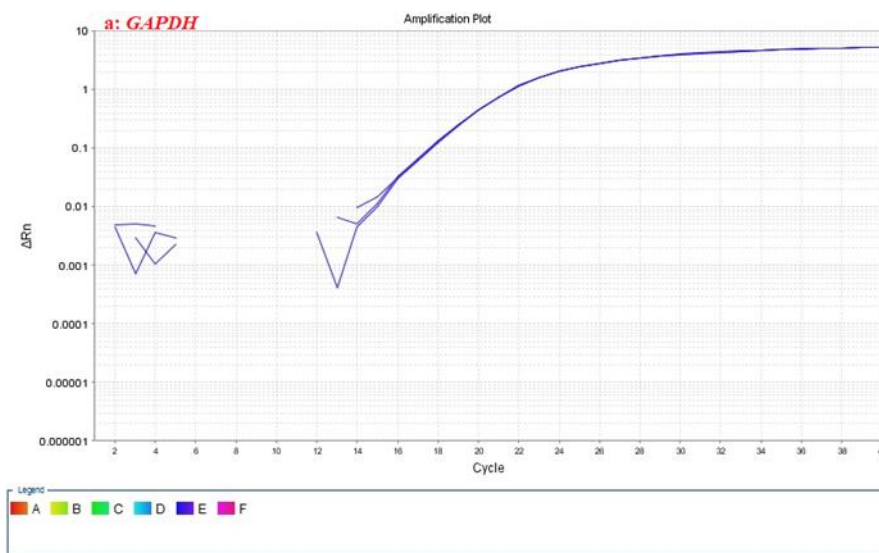


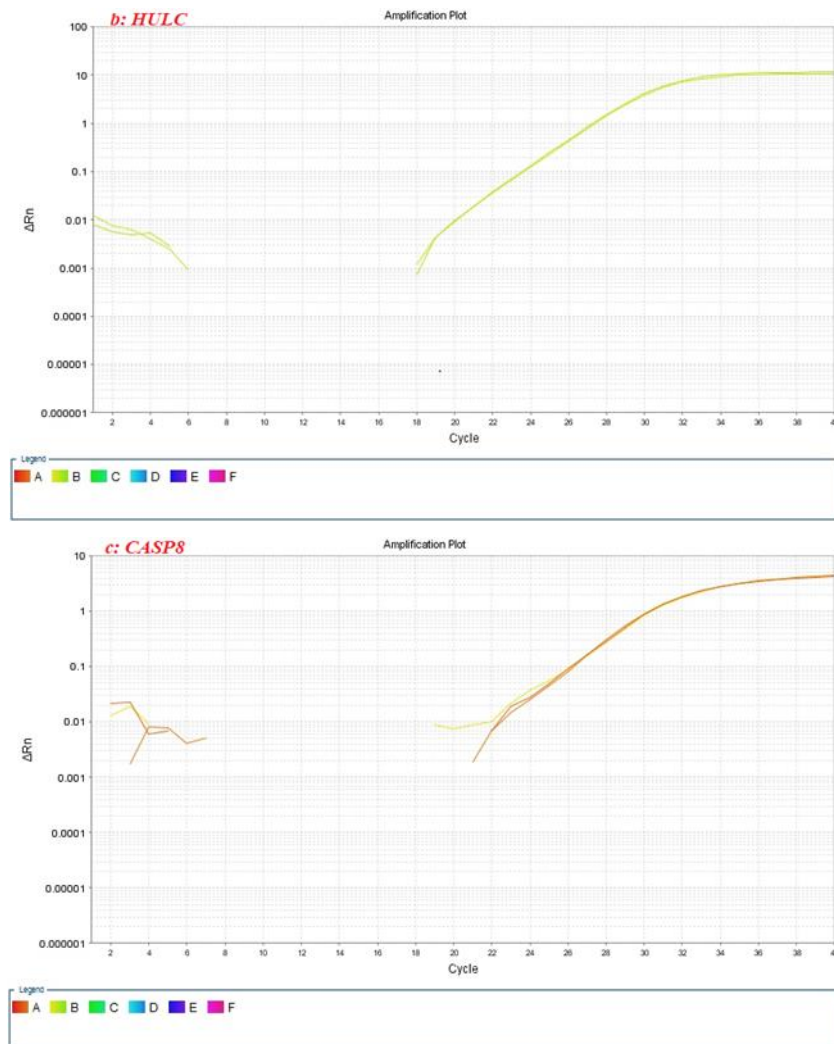
**شکل شماره ۷.** نمودار تغییرات بیان ژن *CASP8* و ژن *HULC* در سلولهای مواجهه یافته با تانوذرات Zmo@Gln – TSC در مقایسه با سلولهای گروه کنترل





شکل شماره ۸ یک نمونه از منحنی ذوب متعلق به هر یم از ژن‌های *CASP8* (c) و *HULC* (b) . *GAPDH* (a)





شکل شماره ۹. یک نمونه از منحنی تکثیر متعلق به هر یک از ژن‌های *CASP8* (c)، *GAPDH* (a) و *HULC* (b)

آنان باشد. بر اساس این، در این مطالعه، نانوذرات اکسید روی آستانه ایستاده از گلوتامین عامل دار گردیدند و سپس با مولکول تیوسیمی کاربازید کثروگه شدند. آزمایش‌های تأییدی شامل SEM، XRD، DLS، FT-IR، TEM بررسی سنتز صحیح نانوذرات انجام گردید که خوبشخانه همگی با نتایج مناسبی گزارش شد. درنهایت، پس از مواجهه نانوذرات سنتز شده با سلول‌های آدنوکارسینومای معده، دوز سمی تعیین گردید و اثر آن بر فرایند آپوپتوز و میزان یان ژن‌های دخیل در مرگ برنامه‌ریزی شده سلولی ارزیابی شد. مطالعات مهمی در ارتباط با عملکرد نانوذرات اکسید فلزی بهویژه اکسید روی بر سلول‌های سرطانی انجام شده است که تأثیر مثبت آن‌ها را نشان می‌دهد. در مطالعه پاندورانگان در سال ۲۰۱۶، تأثیر نانوذرات ZnO بر سلول‌های کارسینوم سرویکس انسان و همچنین در مطالعه اختر در سال ۲۰۱۲

## بحث و نتیجه‌گیری

نانوتکنولوژی علم تولید و به کارگیری فیزیکی، شیمیایی و بیولوژیک اتم یا مولکول‌هایی با اندازه ۱ تا ۱۰۰ نانومتر است که خواصی متمایز از مواد دیگر دارند و شامل افزایش نسبت سطح به حجم بسیار و فعالیت بالای شیمیایی است. افزایش نسبت سطح به حجم که به تدریج با کاهش اندازه ذره رخ می‌دهد، باعث غلبه یافتن رفتار اتم‌های واقع در سطح ذره به رفتار اتم‌های درونی نانوذره می‌شود. این پدیده بر خصوصیات ذره و بر تعاملات آن با دیگر مواد اثر می‌گذارد. افزایش سطح واکنش‌پذیری نانوذرات را بهشت بالا می‌برد (۲۶). طراحی کمپلکس‌های مولکولی نوین در مقیاس نانو می‌تواند راهکار نوینی بهمنظور بهینه‌سازی و بهبود عملکرد ضدسرطانی این ذرات و در عین حال، کاهش عوارض جانبی

نیتروژنی در TSC موجب تشدید تمایل اتصال نانوذرات به یون‌های فلزات سنگین با استفاده از بروهم کنش کووالانسی بین آن‌ها می‌شود (۳۴، ۳۵). با توجه به نتایج سنجش MTT مشخص شد که نانوذرات ZnO@Gln-TSC پتانسیل مهار سلول سرطانی با الگوی وابسته به دوز دارند؛ پس می‌توان عنوان کرد که عملکرد نانوذرات یادشده در درمان سرطان با توانایی آن‌ها در القای مرگ سلولی مرتبط است. مطالعات مفیدی برای شناخت بهتر عملکردهای کمپلکس نانوذرات اکسید فلزی و تیوسیمی کاربازون‌ها بر سلول‌های سرطانی معده انجام شده است که می‌تواند تأییدی بر نتایج مطالعه پیش‌رو باشد. تأثیر نانوذرات اکسید کبات عامل دارشده با گلوتامین اسید و کثروگه با تیوسیمی کاربازید و همچنین تأثیر نانوذرات آهن کثروگه با مشتق تیازولی تیوسیمی کاربازون بر رده سلولی سرطان معده باعث القای آپوپتوز در این رده سلولی گردیده است (۳۶). در مطالعه‌ای تأثیر نانوذرات اکسید نیکل کثروگه با تیوسیمی کاربازید و همچنین تأثیر نانوذرات مس کثروگه با تیوسیمی کاربازید بر سلول‌های AGS نشان داد که این نانوذرات با خاصیت کشنده‌گی سلول سرطانی، موجب راهاندازی آبشار آپوپتوزی خواهد شد (۳۷، ۳۸).

CASP8 آنزیم مهمی در آغاز آپوپتوز بیرونی است که در پاسخ به سیگنال‌های خارج سلولی القا می‌شود. نتایج ZnO@Gln-TSC بر سلول‌های سرطانی معده بیان ژن CASP8 را به میزان ۶/۷۹ نسبت به گروه کنترل افزایش داده و موجب فعال شدن مسیر آپوپتوز بیرونی شده است. miRNA‌ها انواعی از مولکول‌های تکرشته‌ای کوچک غیرکدکننده RNA هستند که بر فرایندهای بیولوژیکی متعددی مانند رشد سلولی، تمايز و سرطان‌زایی تأثیر می‌گذارند. HULC که با ایجاد سرطان‌های مختلف مرتبط است، می‌تواند توسط CREB فعال گردد و با هدف قرار دادن RNA‌های تنظیم کننده از جمله miR-613، با رشد سریع سلول‌های سرطانی در گیر شود (۴۰، ۴۱). در این مطالعه، اثر نانوذرات ZnO@Gln-TSC بر بیان RNA طولانی غیرکدکننده HULC در سلول‌های AGS بررسی گردید. نتایج نشان داد که میزان بیان ژن HULC تا ۰/۶۵ در

تأثیر نانوذرات ZnO بر سلول‌های MCF-7 موجب بروز ویژگی‌های ضدسرطانی و آپوپتوزی نظری گرد شدن سلول‌ها و از دست دادن چسبندگی سلول‌ها شد. نتایج هردو مطالعه همسو با نتایج به دست آمده در مطالعه حاضر بود (۲۷، ۲۸). نقش گلوتامین در افزایش اثربخشی نانوذرات سنتزشده بر سلول‌های سرطانی نسبت به سلول‌های گروه کنترل بسیار مهم است. گلوتامین منبع انرژی و پیش‌ساز برای ساخت پروتئین‌ها و نوکلئوتیدها است که برای رشد و تکثیر سلول‌ها ضروری است. ویژگی ساختاری و مهم گلوتامین این است که دو اتم نیتروژن دارد که با انتقال میان اعضاء و بافت‌های مختلف، اعمال خود را انجام می‌دهد. گلوتامین نقش مهمی در تنظیم تعادل اسید-باز دارد (۳۰، ۳۱). نیازهای متابولیکی سلول‌های سرطانی به گلوتامین به علت منبع سوخت سلولی در جدار مجاری معده‌ای-روده‌ای می‌تواند برای توسعه درمان‌های هدفمند مناسب باشد که به بهبود کارایی و به حداقل رساندن آسیب به سلول‌های سالم منجر می‌شود (۱۸). با توجه به تقاضای بیشتر سلول‌های سرطانی برای مواد مغذی حیاتی از جمله اسیدهای آمینه، عامل دار کردن نانوذرات اکسید روی با گلوتامین می‌تواند نفوذ دارو به سلول‌های سرطانی را بهبود بخشد. در درمان هدفمند، دستگاه‌های تحويل‌دهی بر پایه نانوذرات مختلف توسعه یافته است. در این درمان‌ها، دارو به صورت تهاجمی عمل نمی‌کند، بلکه به صورت منطقه‌ای عمل می‌نماید و روی سلول‌ها و بافت‌های سالم اثر جانبی و سمی ندارد. مطالعات اخیر نشان داده است که کثروگه کردن تیوسیمی کاربازید یا مشتقات آن به نانوذرات فلزی می‌تواند به بهبود پایداری آنان و همچنین افزایش ویژگی ضدتوموری و ضدسرطانی آنان منجر گردد (۳۱). تیوسیمی کاربازون‌ها با اتصال به نانوفلزات می‌توانند با تشکیل کمپلکس فعل اکسیداسیون و احیا، گونه‌های اکسیژن‌گرای فعل تولید کنند (۳۲، ۳۳). نتایج یک مطالعه نشان داد که نانوذرات نفره به همراه گلوتامیک اسید و کثروگه با تیوسیمی کاربازون باعث القای آپوپتوز در سلول‌های MCF-7 شدند (۱۰). تشکیل کمپلکس‌های فلزی از طریق پیوند با اتم‌های گوگرد و گروه نیتروژن صورت می‌گیرد. وجود باندهای گوگردی و

مقایسه با سلول‌های گروه کنترل کاهش‌یافته است. نتایج یک مطالعه به منظور بررسی خصوصیات آپوپتوزی نانوذرات نقره عامل‌دارشده با گلوتامین و کنزونگه با تیوسومی کاریازید (Ag@Gln-TSC) بر سلول‌های سرطانی نشان داد که ژن *CASP8* با افزایش معنی‌دار ( $3/8$ ) و ژن *HULC* با کاهش معنی‌دار ( $0/3$ ، سلول سرطانی را به سوی آپوپتوز پیش‌بردند).<sup>(۱۸)</sup>

در این مطالعه، نانوذرات ZnO@Gln-TSC ستتر شد و ویژگی سمیت و کشنده‌گی سلول سرطانی از طریق آپوپتوز با بیان ژن‌های مهم در سلول‌های سرطانی معده بررسی گردید. نتایج نشان داد که تأثیر نانوذرات ZnO@Gln-TSC بر سلول‌های سرطانی AGS موجب مهار تکثیر سلولی و القای آپوپتوز از طریق افزایش میزان ژن *CASP8* و کاهش میزان بیان ژن *HULC* شده است. یافته‌ها نشان می‌دهد که این نانوذرات به عنوان ماده‌ای ضدتکثیر قوی برای شیمی‌درمانی بیماران سرطانی می‌تواند بیشتر بررسی شود.

### **سپاس‌گزاری**

نویسنده‌گان از پرسنل آزمایشگاه زیست‌شناسی دانشگاه آزاد واحد رشت تشکر می‌نمایند.

### **تعارض منافع**

نویسنده‌گان اعلام می‌دارند که در انجام این پژوهش، هیچ‌گونه تعارض منافعی گزارش نشده است.

### **حمایت مالی**

این پژوهه هیچ حمایت مالی دریافت نکرده است..

### **مشارکت نویسنده‌گان**

نویسنده‌گاه دارای سهم مساوی در مقاله می‌باشد.

## References

1. Smyth EC, Nilsson M, Grabsch HI, van Grieken NC, Lordick F. Gastric cancer. *Lancet* 2020; 396:635-48. doi: 10.1016/S0140-6736(20)31288-5.
2. Bray F, Ferlay J, Soerjomataram I, Siegel RL, Torre LA, Jemal A. Global cancer statistics 2018: GLOBOCAN estimates of incidence and mortality worldwide for 36 cancers in 185 countries. *CA Cancer J Clin* 2018; 68:394-424. doi: 10.3322/caac.21492.
3. Wydra RJ, Oliver CE, Anderson KW, Dziubla TD, Hilt JZ. Accelerated generation of free radicals by iron oxide nanoparticles in the presence of an alternating magnetic field. *RSC Adv* 2015;5:18888-93. doi: 10.1039/C4RA13564D.
4. Mokwena MG, Kruger CA, Ivan MT, Heidi A. A review of nanoparticle photosensitizer drug delivery uptake systems for photodynamic treatment of lung cancer. *Photodiagnosis Photodyn Ther* 2018; 22:147-54. doi: 10.1016/j.pdpt.2018.03.006.
5. Jayarambabu N, Kumari BS, Rao KV, Prabhu YT. Beneficial role of zinc oxide nanoparticles on green crop production. *Int J Multidiscip Adv Res Trends* 2015;2273-82.
6. Han N, Xu L, Zheng H, Yang Y, Fan W. In vivo co-delivery of paclitaxel and herceptin for Her2/Neu+ breast cancer treatment using micellar nanoparticles. *Nanomed: Nanotechnol Biol Med* 2016; 12:513-4. doi: 10.1016/j.nano.2015.12.191.
7. Altman BJ, Stine ZE, Dang CV. From Krebs to clinic: glutamine metabolism to cancer therapy. *Nat Rev Cancer* 2016; 16: 619-34. doi: 10.1038/nrc.2016.71.
8. Cruzat V, Macedo Rogero M, Noel Keane K, Curi R, Newsholme P. Glutamine: metabolism and immune function, supplementation and clinical translation. *Nutrients* 2018; 10:1564. doi: 10.3390/nu10111564.
9. Pelosi G. Thiosemicarbazone metal complexes: from structure to activity. *Open Crystallogr J* 2010; 3: 16-28. doi: 10.2174/1874846501003010016.
10. Sadat Shandiz SA, Montazeri A, Abdolhosseini M, Hadad Shahrestani S, Hedayati M, et al. Functionalization of Ag nanoparticles by glutamic acid and conjugation of Ag@Glu by thiosemicarbazide enhances the apoptosis of human breast cancer MCF-7 cells. *J Clust Sci* 2018;29:1107-14. doi:10.1007/s10876-018-1424-0.
11. Ma ZY, Shao J, Bao WG, Qiang ZY, Xu JY. A thiosemicarbazone copper (II) complex as a potential anticancer agent. *J Coord Chem* 2015; 68: 277-94. doi:10.1080/00958972.2014.979811.
12. Paul-Samojedny M, Kokocińska D, Samojedny A, Mazurek U, Partyka R, Lorenz Z, et al. Expression of cell survival/death genes: Bcl-2 and Bax at the rate of colon cancer prognosis. *Biochim Biophys Acta* 2005; 1741:25-29. doi: 10.1016/j.bbadi.2004.11.021.
13. Rofeal M, El-Malek FA. Valorization of lipopeptides biosurfactants as anticancer agents. *Int J Pept Res Ther* 2021; 27:447-55. doi:10.1007/s10989-020-10105-8.
14. Peng W, Gao W, Feng J. Long noncoding RNA HULC is a novel biomarker of poor prognosis in patients with pancreatic cancer. *Clin Oncol* 2014; 31:1-7. doi: 10.1007/s12032-014-0346-4.
15. Gonzalez I, Munita R, Agirre E, Dittmer TA, Gysling K, et al. A lncRNA regulates alternative splicing via establishment of a splicing-specific chromatin signature. *Nat Struct Mol Biol* 2015; 22:370-6. doi: 10.1038/nsmb.3005.
16. Zhao Y, Guo Q, Chen J, Hu J, Wang S, Sun Y. Role of long non-coding RNA HULC in cell proliferation, apoptosis and tumor metastasis of gastric cancer: a clinical and in vitro investigation. *Oncol Rep* 2014; 31:358-64. doi:10.3892/or.2013.2850.
17. Nejabatdoust A, Salehzadeh A, Zamani H, Moradi-Shoeili Z. Synthesis, characterization and functionalization of ZnO nanoparticles by glutamic acid (Glu) and conjugation of ZnO@Glu by thiosemicarbazide and its synergistic activity with ciprofloxacin against multi-drug resistant *Staphylococcus aureus*. *J Clust Sci* 2019; 30:329-36. doi:10.1007/s10876-018-01487-3.
18. Taati H, Sangani H, Davoudi A, Safabakhsh Kouchesfahani S, Hedayati M, et al. Silver nanoparticle functionalized by glutamine and conjugated with thiosemicarbazide induces apoptosis in colon cancer cell line. *Sci Rep* 2024; 14:3809. doi: 10.1038/s41598-024-54344-x. Ramesh P, Saravanan K, Manogar P, Johnson J, Vinoth E, et al. Green synthesis and characterization of biocompatible zinc oxide nanoparticles and evaluation of its antibacterial potential. *Sens Bio Sens Res* 2021; 31:100399. doi: 10.1016/j.sbsr.2021.100399.
19. Senthilkumar SR, Sivakumar T. Green tea (*Camellia sinensis*) mediated synthesis of zinc oxide (ZnO) nanoparticles and studies on their antimicrobial activities. *Int J Pharm Sci* 2014; 6: 461-5.
20. Pawlukojć A, Hołderna-Natkanięc K, Bator G, Natkaniec I. L-glutamine: Dynamical properties investigation by means of INS, IR, RAMAN, 1H NMR and DFT techniques.

- Chem Phys 2014; 443:17-25. doi: 10.1016/j.chemphys.2014.08.003.
21. Khurana N, Arora P, Pente AS, Pancholi KC, Kumar V, et al. Surface modification of zinc oxide nanoparticles by vinyltriethoxy silane (VTES). Inorg Chem Commun 2021; 124:108347. doi: 10.1016/j.inoche.2020.108347.
  22. Barrak H, Saeid T, Chevallier P, Laroche G, M'nif A, Hamzaoui AH. Synthesis, characterization, and functionalization of ZnO nanoparticles by N-(trimethoxysilylpropyl) ethylenediamine triacetic acid (TMSEDTA): Investigation of the interactions between Phloroglucinol and ZnO@ TMSEDTA. Arab J Chem 2019; 12:4340-7. doi: 10.1016/j.arabjc.2016.04.019.
  23. Dehkaei AA, Khalatbari K, Emamifar A, Taramsari SM, Balkhi S, et al. Cytotoxicity effect of nickel hydroxide nanoparticles functionalized by glutamine and conjugated by thiosemicarbazide on human lung cancer cell line (A549) and evaluation of bax and bcl-2 genes expression. Gene Rep 2022; 29:101700. doi: 10.1016/j.genrep.2022.101700.
  24. Jamdagni P, Khatri P, Rana JS. Green synthesis of zinc oxide nanoparticles using flower extract of Nyctanthes arbor-tristis and their antifungal activity. J King Saud Univ Sci 2018; 30:168-75. doi: 10.1016/j.jksus.2016.10.002.
  25. Wang MS, Chen L, Xiong YQ, Xu J, Wang JP, et al. Iron oxide magnetic nanoparticles combined with actein suppress non-small-cell lung cancer growth in a p53-dependent manner. Int J Nanomedicine 2017; 17:7627-51. doi: 10.2147/IJN.S127549.
  26. Akhtar MJ, Ahamed M, Kumar S, Khan MM, Ahmad J, et al. Zinc oxide nanoparticles selectively induce apoptosis in human cancer cells through reactive oxygen species. Int J Nanomedicine 2012; 21:845-57. doi: 10.2147/IJN.S29129.
  27. Pandurangan M, Enkhtaivan G, Kim DH. Anticancer studies of synthesized ZnO nanoparticles against human cervical carcinoma cells. J Photochem Photobiol B 2016; 158:206-11. doi: 10.1016/j.jphotobiol.2016.03.002.
  28. Antonio J, Street C. Glutamine: a potentially useful supplement for athletes. Can J Appl Physiol 1999; 24:1-4. doi: 10.1139/h99-001.
  29. Hensley CT, Wasti AT, DeBerardinis RJ. Glutamine and cancer: cell biology, physiology, and clinical opportunities. J Clin Invest 2013; 123:3678-84. doi: 10.1172/JCI69600.
  30. Hamrayev H, Shameli K, Yusefi M. Preparation of zinc oxide nanoparticles and its cancer treatment effects: A review paper. J Adv Res Micro Nano Engin 2020;2:1-1.
  31. Ma ZY, Shao J, Bao WG, Qiang ZY, Xu JY. A thiosemicarbazone copper (II) complex as a potential anticancer agent. J Coord Chem 2015; 68: 277-94. doi:10.1080/00958972.2014.979811.
  32. Yildirim H, Guler E, Yavuz M, Ozturk N, Yaman PK, et al. Ruthenium (II) complexes of thiosemicarbazone: Synthesis, biosensor applications and evaluation as antimicrobial agents. Mater Sci Eng C Mater Biol Appl 2014; 44:1-8. doi: 10.1016/j.msec.2014.08.007.
  33. Gou Y, Wang J, Chen S, Zhang Z, Zhang Y, et al.  $\alpha$ -N- heterocyclic thiosemicarbazone Fe (III) complex: Characterization of its antitumor activity and identification of anticancer mechanism. Eur J Med Chem 2016; 123:354-64. doi: 10.1016/j.ejmchem.2016.07.041.
  34. Goya GF, Grazu V, Ibarra MR. Magnetic nanoparticles for cancer therapy. Curr Nanosci 2008; 4:1-6. doi:10.2174/157341308783591861.
  35. Jarestan M, Khalatbari K, Pouraei A, Sadat Shandiz SA, Beigi S, et al. Preparation, characterization, and anticancer efficacy of novel cobalt oxide nanoparticles conjugated with thiosemicarbazide. 3 Biotech 2020; 10:1-9. doi: 10.1007/s13205-020-02230-4.
  36. Habibzadeh SZ, Salehzadeh A, Moradi-Shoeili Z, Shandiz SA. A novel bioactive nanoparticle synthesized by conjugation of 3-chloropropyl trimethoxy silane functionalized Fe<sub>3</sub>O<sub>4</sub> and 1-((3-(4-chlorophenyl)-1-phenyl-1H-pyrazol-4-yl)methylene)-2-(4-phenylthiazol-2-yl) hydrazine: assessment on anti-cancer against gastric AGS cancer cells. Mol Biol Rep 2020; 47:1637-47. doi:10.1007/s11033-020-05251-7.
  37. Hosseinkhah M, Ghasemian R, Shokrollahi F, Mojdehi SR, Noveiri MJ, et al. Cytotoxic potential of nickel oxide nanoparticles functionalized with glutamic acid and conjugated with thiosemicarbazide (NiO@Glu/TSC) against human gastric cancer cells. J Clust Sci 2022; 33:2045-53. doi:10.1007/s10876-021-02124-2.
  38. Badrooh M, Shokrollahi F, Javan S, Ghasemipour T, Rezaei Mojdehi S, et al. Trigger of apoptosis in adenocarcinoma gastric cell line (AGS) by a complex of thiosemicarbazone and copper nanoparticles. Mol Biol Rep 2022; 49:2217-26. doi: 10.1007/s11033-021-07043-z.
  39. Dong Y, Wei MH, Lu JG, Bi CY. Long non-coding RNA HULC interacts with miR-613 to regulate colon cancer growth and metastasis through targeting RTKN. Biomed

- Pharmacother 2018; 109:2035-42. doi: 10.1016/j.biopha.2023.115370.
40. Esquela-Kerscher A, Slack FJ. Oncomirs—microRNAs with a role in cancer. Nat Rev Cancer 2006; 6:259-69. doi:10.1038/nrc1840.